

鹿児島工業高等専門学校 正員 ○村田秀一  
九州大学 工学部 正員 山内豊穣

## 1. まえがき

著者等はさきに、各地の地山から採取した乱さないシラス供試体のせん断特性について報告した。前報においては、場所によりその工学的性質は、強度あるいは密度においてかなり異り、工学的な分類も異にするものであったが、そのせん断強度は同一の式で表わされることを示した。このよう考へておいては、地山シラスは脆性材料であるとみなし、その解析には岩石力学的手法を用ひるべきであろうという提案を含している。本報は同一の地山から採取した乱さないシラス供試体の含水比を変え、一連の三軸圧縮試験を行って、その含水比のせん断特性に及ぼす影響を考察するものである。

## 2. 試験結果とその考察

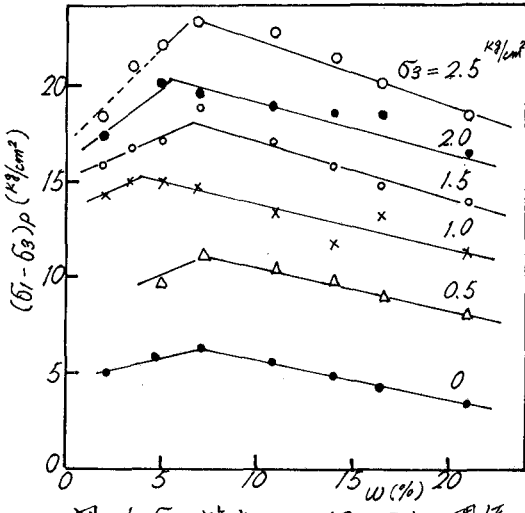
地山シラスの強度定数 $C$ 、中材含水比の影響を除いた場合程は受けない。 $C$ においては、含水比の増加と共に減少する傾向はみられるが、中においては、ほとんど変化がない。この性質は、地山シラスの持つ固結力の影響が大きいことを示すもので、もとより地山シラスは岩的な要素を持ってゐると考えられる。図-1は、拘束圧 $G_3$ をえた時の含水比 $W$ に対する軸差応力のピーク時 $(G_1 - G_3)p$ をプロットしたものである。 $W$ が約7%から $(G_1 - G_3)p$ は、 $(G_1 - G_3)p$ は $W$ の増加と共に減少していく。また、 $G_3 = 2.5 \text{ kg/cm}^2$  の拘束圧下では $(G_1 - G_3)p$ の増大も著しい。 $W$ が7%以下においては $(G_1 - G_3)p$ は減少し、それ以上のビズミ $E_p$ は小さな傾向にある。このように岩的な性質を持つ地山シラスにおいても、 $W$ が7%以下では、サクション等や粒子間力の問題で処理しきれは理解できない性質も持っている。表-1は、試験結果の一部をまとめたものである。 $W$ が7%以上における、地山シラスのせん断強度 $\tau_{max}$ は式で表される。 $\tau_{max} = \tau_{max0} + A G_m^b$  (1) ここで、 $\tau_{max} = (G_1 - G_3)/2$ ,  $G_m = (G_1 + G_3)/2$ ,  $\tau_{max0}$ は $G_m = 0$ における軸切片、 $A$ ,  $b$ は定数。ここで、 $A$ ,  $b$ を定数を求めるため、(1)式を次式に変形する。

$$\log_{10}(\tau_{max} - \tau_{max0})/S_c = \log_{10}A + b \log(G_m/S_c) \quad (2)$$

ここに、 $S_c$ は一軸圧縮強度である。

図-2は、 $(\tau_{max} - \tau_{max0})/S_c$ と $G_m/S_c$ の関係を各々の含水比において、両対数でプロットしたものである。この結果 $(\tau_{max} - \tau_{max0})/S_c$ と $G_m/S_c$ の関係は、含水比に関係なく、同

表-1 試験結果

図-1  $G_3$ に対する $W$ と $(G_1 - G_3)p$ の関係

| $W \text{ %}$                    | 21   |      |      |       |       | 14   |      |      |       |       | 7.2  |      |       |       |       |
|----------------------------------|------|------|------|-------|-------|------|------|------|-------|-------|------|------|-------|-------|-------|
| $S_c \text{ (%f)}$               | 3.41 |      |      |       |       | 4.52 |      |      |       |       | 5.98 |      |       |       |       |
| $S_t \text{ (%f)}$               | 0.16 |      |      |       |       | 0.22 |      |      |       |       | 0.26 |      |       |       |       |
| $\tau_{max0} \text{ (%f)}$       | 0.38 |      |      |       |       | 0.50 |      |      |       |       | 0.56 |      |       |       |       |
| $G_3 \text{ (%f)}$               | 0.5  | 1.0  | 1.5  | 2.0   | 2.5   | 0.5  | 1.0  | 1.5  | 2.0   | 2.5   | 0.5  | 1.0  | 1.5   | 2.0   | 2.5   |
| $G_m \text{ (%f)}$               | 4.56 | 6.62 | 8.48 | 10.14 | 11.62 | 5.35 | 6.24 | 9.30 | 11.22 | 13.09 | 5.73 | 8.28 | 10.95 | 11.47 | 14.06 |
| $G_m/S_c$                        | 1.45 | 1.94 | 2.48 | 2.97  | 3.41  | 1.18 | 1.38 | 2.06 | 2.48  | 2.90  | 0.96 | 1.38 | 1.83  | 1.92  | 2.35  |
| $\tau_{max} \text{ (%f)}$        | 4.06 | 5.62 | 6.98 | 8.15  | 9.12  | 4.85 | 5.74 | 7.80 | 9.22  | 10.59 | 5.22 | 7.28 | 9.48  | 9.47  | 11.54 |
| $(\tau_{max} - \tau_{max0})/S_c$ | 1.16 | 1.47 | 1.94 | 2.26  | 2.52  | 0.96 | 1.16 | 1.62 | 1.93  | 2.23  | 0.77 | 1.13 | 1.50  | 1.50  | 1.85  |
| $\tau_{max}/S_c$                 | 1.28 | 1.59 | 2.15 | 2.38  | 2.64  | 1.07 | 1.27 | 1.73 | 2.03  | 2.34  | 0.87 | 1.22 | 1.58  | 1.58  | 1.93  |

の直線で示される。従って、地山シラスのセン断強度は含水比が変化しても(1)式で示すことができる。(1)式のA, b定数は、図-2において、 $Gm/Sc = 1$ , ( $\log_{10}(Gm/Sc) = 0$ )のときの $(Z_{max} - Z_{max0})/Sc$ の値と、直線の勾配から求め、 $A = 0.8$ ,  $b = 0.93$ を得る。また、 $Z_{max0}/Sc$ の値は、各含水比とのときの実験値として、0.1を求まるので、(2)式は次式で示される。 $Z_{max}/Sc = 0.1 + 0.8(Gm/Sc)^{0.93}$ ----- (3)

この関係は、図-3に示される。(3)式は、前報で述べた、各種の自然含水比状態の地山シラスの関係式と全く同一であり、地山シラスのセン断強度は、含水化、密度が異つていても(3)式で示すことができる。

地山シラスのような弱強度の脆性材料においては、その破壊形態が、脆性か延性に移行する拘束圧(限界拘束圧)は、岩的等に比べてかなり小さい。図-4に、各含水比に対する限界拘束圧を示した。Wが約4%以下においては、 $2.3 \text{ kg/cm}^2$  が限界拘束圧である。図-1において、 $G_3 = 2.5 \text{ kg/cm}^2$  のプロットで W < 6%において(破線)軸差応力の減少が著しく、その応力・ビズミ曲線を引ても定常セン断強度とピーク時の軸差応力の差は、かなり小さく、その破壊の形態が延性的であると判断される。つまり固結力のセン断強度に及ぼす割合が小さくなると考えられる。また、含水比が高くなると、図-4で示される限界拘束圧以上において同様の破壊形態が生じてしまうと思われるが追実験で確認するつもりである。図-1で示す実線の領域は、拘束圧が限界拘束圧以下であるため、 $(G_1 - G_3)p - G_3$  の関係は、比例的である。ここで、(3)式が適用できる範囲は、図-4の限界拘束圧以下において意味があるといふ以上は、かなり密な状態で堆積している一次地山シラス(塑性シラス)から採取した供試体についての結果である。而ちの状態の試験結果については当月発表する。また、本報は、自然含水比以下についての結果であるが、自然含水比状態から飽和状態における試験については、間隔水压の影響を考慮して、今後行い、別の機会に報告する。

あとがき 資料整理で深川誠夫君の協力を得た、ここに感謝の意を表す。

#### 参考文献

- 1) 村田・山内：地山シラスのセン断特性について、第9回土質工学研究発表会、昭49. 6
- 2) 村田・山内：地山シラス供試体の強度特性について(第2報含水比の影響)、土木学会西部支部研究発表会、昭47. 2
- 3) Stagg-Zienkiewicz "Rock Mechanics in Engineering" John Wiley & Sons. 1972
- 4) 村田・山内：せん性材料の破壊形態に関する考察、第8回土質工学研究発表会、昭48. 6

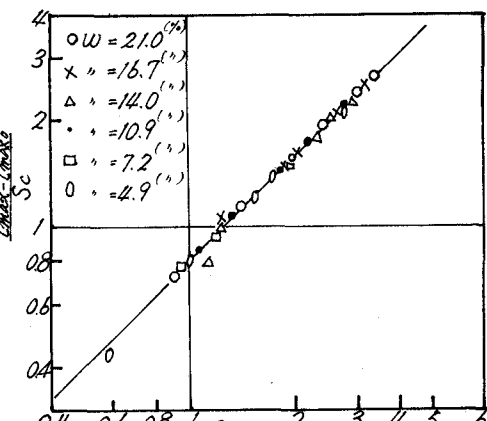


図-2  $(Z_{max} - Z_{max0})/Sc$  と  $Gm/Sc$  の関係

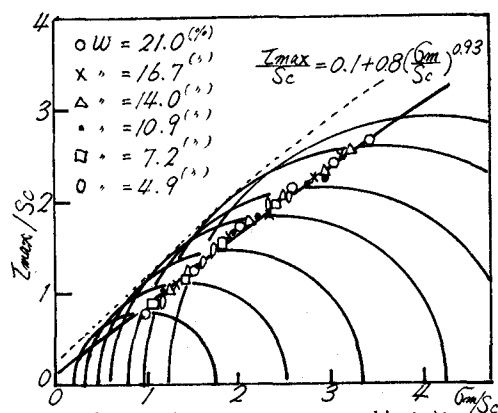


図-3 地山シラスのセン断強度

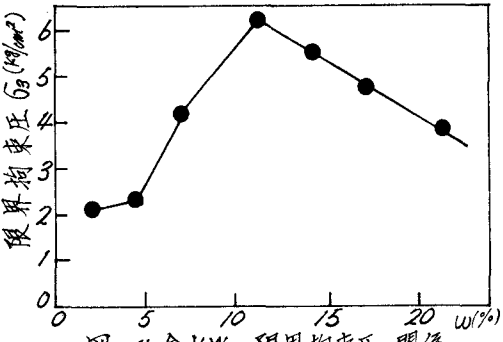


図-4 含水比と限界拘束圧の関係